イオンチャネルスクリーニングのための 平面脂質二重膜マイクロアレイチップ



研究ノート

鈴 木 宏 明^{*}

Planar Lipid Bilayer Micro-array Chip for Screening of Ion Channel Proteins

Key Words: Lipid Bilayer, Ion Channel Recording, Array Chip, Microtechnology

1.はじめに

近年、Micro Total Analysis Systems (µTAS)ま たは Lab-on-a-Chip と呼ばれる技術が急速に発達し ている[1,2].チップ上に微細な流路や反応容器を 加工し、そのような微小空間中で化学分析や生化学 反応を行うことにより,従来のアッセイ法に比べて 必要な試薬量が大幅に削減できる、反応・分析時間 が短縮される,反応から検出までをひとつのチップ 上で効率的に行うことができるなどの利点が提唱さ れている。この技術を用いることにより、薬剤スク リーニングのハイスループット化が期待されている。 創薬ターゲットとして、膜タンパク質 (イオンチャ ネル、トランスポータ等)の重要性は広く認識され ているが[3-5]、その扱いの困難さから、汎用的・標 準的なハイスループットアッセイ系の確立が遅れて いる。同様に、膜タンパク質を扱う μ TAS 技術に ついても報告例が比較的少ないのが現状である。膜 タンパク質には様々な種類が存在するが、中でもイ オンチャネルはパッチクランプ法(Fig. 1a)の発展 によりその機能がよく知られている[6]。しかし、 従来のパッチクランプ法は職人的技術を要するため、 ハイスループット化に向かない。最近ではマイクロ 加工技術によって多数の均一径孔を基板上に形成し、 そこにイオンチャネルを発現させた細胞を吸引させ 多数の細胞パッチクランプ計測を実現する装置が市



*Hiroaki SUZUKI

1973**年**8**月生**

東京大学大学院 工学系研究科 機械工学専攻(2003年)

現在、大阪大学大学院 情報科学研究科 パイオ情報工学専攻 准教授 博士(工 学) パイオMEMS

TEL: 06-6879-4151 FAX: 06-6879-7433

E-mail: suzuki@ist.osaka-u.ac.jp

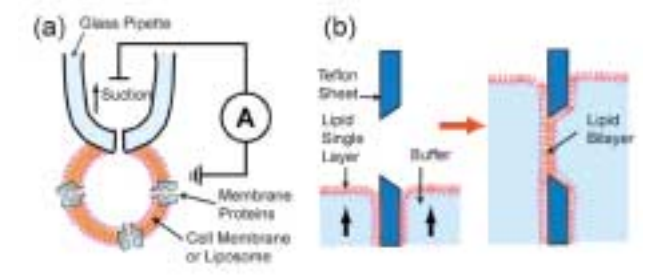


Fig. 1 (a) パッチクランプ法の模式図。ガラス細管に細胞を吸引し、細胞膜に発現したイオンチャネルを通過する電流を計測する。

(b) Langmuir-Blodgette 法による平面脂質二重膜形成法。

販されているが、ギガオームシール形成の再現性に 難が残るようである[7-10]。一方,精製または合成 したリン脂質分子から,細胞膜モデルとしての平面 脂質二重膜を人工的に形成し,そこにイオンチャネ ルを再構成して電気生理計測を行うという手法が存 在する(Fig. 1b)[6].この手法では,究極的には一 分子レベルの少ないタンパク質量でアッセイができ る,実験条件を任意に設定可能,目的タンパク質の 機能のみを純粋に調べることができる,など細胞の パッチクランプ法を補完する様々な利点が得られる. しかし,従来の平面人工脂質二重膜形成法は再現性 が悪く,一般に広く用いられてこなかった。

筆者らは、マイクロチップ上に平面人工脂質二重膜のアレイを形成し、イオンチャネル電流計測をハイスループットで行うためのプラットフォーム開発を継続して行ってきた[11-14].マイクロ孔に制御して脂質溶液を分配することにより、平面脂質二重膜形成の再現性を大幅に向上させることに成功している。本報では、その最新の成果を報告する。

2. 平面脂質二重膜マイクロチップの構造および 脂質膜形成原理

脂質平面膜形成の従来法では、テフロン膜に直径

50-200 µ m 程度の孔を手作りで形成し、そこにリン 脂質の単分子膜を張り合わせる(Fig. 1b) または リン脂質を溶解させた溶媒をはけで塗布する、とい った方法が使われていた[6]。筆者らは、微細加工 により形成したより微細かつ形状の揃った貫通孔と、 マイクロ流路システムを利用して、脂質平面膜形成 の再現性の向上を試みた。再現性の向上により、多 数の脂質平面膜を同時形成し、計測のスループット を大幅に上げることが可能になる。Fig. 2(a) に、我々 が開発した96ウェルの平面脂質二重膜チップの概 **観を示す。**4 × 3 cm² のチップ上に、96個(12 × 8) の計測ウェル(直径 2mm、深さ 3mm) が配置され ている。Fig. 2(b) に単一ウェルの断面模式図を示す。 マイクロチップは三層構造で構成されており、上側 のウェル、平面脂質膜を形成するためのマイクロ孔 構造を持つ薄膜ポリマー(ポリパラキシリレン)シ ート(シート厚20μm、孔直径30μm) そして下 側の流路から成っている。計測時には、上側ウェル と下側流路がバッファで満たされた状態で、それら を隔てている薄膜シートに形成されたマイクロ孔に 平面脂質二重膜が形成される。膜タンパク質は、上 側のウェルに例えばプロテオリポソーム(膜タンパ ク質を再構成したリポソーム)の懸濁液を添加する と、自発的に平面膜に融合して再構成される。イオ ンチャネルを通過する膜電流は通常ピコアンペア~ ナノアンペアと小さいため、計測はパッチクランプ 用の電流増幅器を用いて行う。増幅器の計測ヘッド に接続した電極をウェルに挿入し、グラウンド電極 を下側流路の導入口に挿入することにより、定電圧 下での膜電流を計測する(電圧クランプ)。ウェル は電気的に絶縁されているため、個々のウェルで独 立な計測をパラレルに行うことが可能である。

デバイスの作製は、市販のステレオリソグラフィ装置(Perfactory, envisiontec 社,ドイツ製)を用いた.製作するデバイスをCADソフトウェア上でデザインすると、z方向に25 μmまたは50 μm毎の層に分割した平面データを作成し、そのプロジェクタ像をガラス基板上の光硬化性樹脂に照射して積層する.マイクロ孔を有するポリマーシートはフォトリソグラフィ技術により別途作製し、樹脂の積層の中間にサンドイッチする方法を開発した(ハイブリッド光造形技術)。この方法により、ステレオリソグラフィ装置の空間解像度を補って、直径数十マ

イクロメートルの孔構造を組み込むことができる。

平面脂質膜の形成は以下のような手順で行った(すべてピペットマンによる操作)。まず、上側ウェルにバッファ(300 mM KCIを含む。pH=7.0)を注入する。その後、下側流路の注入口から少量(~5µL)の脂質溶液(10 mg リン脂質/1 mL n-デカン)を、続けてバッファを注入する。この操作により、脂質溶液がマイクロ孔部分を通過した後、下側流路がバッファで満たされる。このとき、マイクロ孔部分を覆うように脂質溶液の薄膜層が形成される。時間の経過によってこの脂質層がさらに薄膜化し、脂質二重膜が形成される。

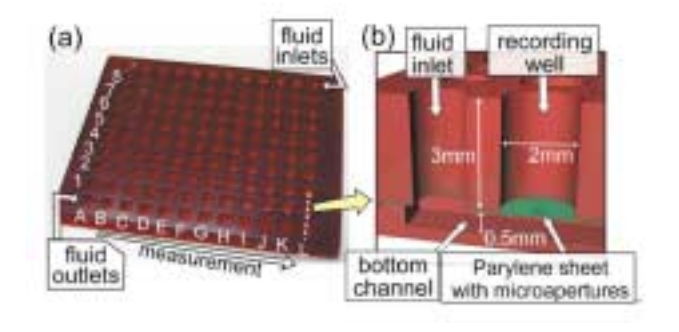


Fig. 2 (a) 96ウェルの平面脂質二重膜チップの概観写真。 チップのサイズは 4×3 cm²。 (b)単一ウェルの断面模式図。上側ウェル、マイク

(b)単一ウェルの断面模式図。上側ウェル、マイクロ貫通孔を持つパリレン膜、および下側流路から構成される。

3.96ウェルチップでのイオンチャネル計測再現 性宝験

上記の手順で脂質二重膜を形成し、モデルイオンチャネルであるグラミシジンAを用いて電気生理計測の再現性を評価した。グラミシジンは水層から脂質二重膜に自発的に挿入し、一価のイオンを透過するチャネルを形成する。グラミシジンは、0.5 mg/mLの濃度であらかじめ上側に注入するバッファに溶解させた。計測は、計測電極を96個のウェルに対して順番に移動させる方法で行った。Fig. 2(a) 中のアドレスで計測されたイオンチャネル電流の例をFig. 3 に示す。Fig. 3(a) は、脂質膜形成後約20分後に計測されたシグナルであり、イオンチャネル1~2分子の開閉がステップ様の電流の変化として観測される。(b)では、別のウェルで計測開始から約35分後に計測されたものであり、シグナルのステップの変化から複数のイオンチャネルが再構

成されていることがわかる。(c) および(b) は計測 開始からそれぞれ約45分後および60分後に観測さ れたものである。多数のイオンチャネルの重ね合わ せにより、個々のチャネルの開閉(ステップ様の信 号)はもはやみられず、電流の大きな揺動が観測さ れている。

Fig. 3のようなイオンチャネル電流は、再現性の 問題から、全てのウェルで観測されるわけではない。 リン脂質二重膜は、厚さ5-10 nm の薄膜であるため、 形成されにくく、また壊れやすい。本デバイスにお ける、脂質二重膜形成及びイオンチャネル電流計測 の再現性を評価するため、全96 ウェルにおけるイ オンチャネル電流計測の結果を Fig. 4 にまとめた。 前述のように、平面膜の形成及びイオンチャネルの 再構成は経時的に変化するが、計測システムの制限 から、全てのウェルを同時計測することは不可能で ある。電極を順番に移動させ全ウェルを計測したが、 1回目の計測後に薄膜化が進行し、イオンチャネル が再構成される可能性が否定できない。従って、脂 質膜形成の操作を行った後、全ウェルの順次電気計 **測を2回行った。(ここで、1ウェルの計測に**30-60 秒を要するため、96 ウェルをスイープするのに 約1時間を要した。従って、2回の全計測には、約 2時間を要した。) Fig. 4中、(i), (ii), および(iii) で 表されるウェルでは、2回の計測においてどちらも イオンチャネル電流が観測されなかった。一方、 (iv), (v), および(vi) で表されるウェルでは、2回の 計測のうち両方、またはどちらか1回においてイオ ンチャネル電流が観測された。96 ウェルのうち、 少なくとも1回の計測においてイオンチャネル電流 が観測された割合を求めると、約46%であった。

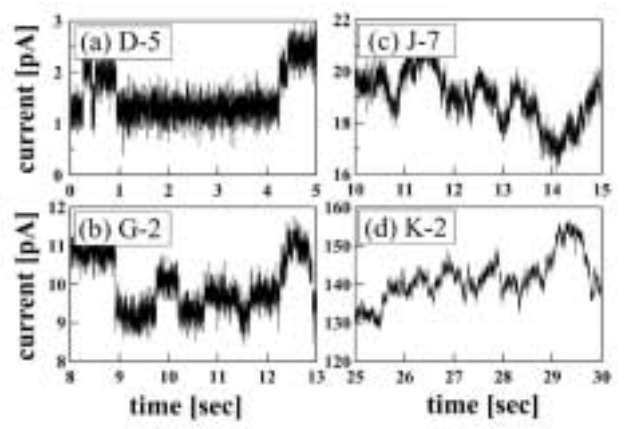


Fig. 3 個々のウェルで計測されたグラミシジンAを通過する イオン透過に伴う電流信号の例。

従来の方法では、このような再現率を算出することが困難なほど、平面脂質膜形成およびイオンチャネル再構成の再現性がばらつくため、ここで得られた再現率は非常に良好であり、今後のハイスループット化に大いに期待が持てる結果であるといえる。



Fig. 4 全96 ウェルにおけるイオンチャネル電流計測の結果。 一度の平面膜再構成に対して2回計測を行った。

4.まとめと展望

バイオチップ技術の発展により、様々な生化学アッセイ法やその装置が小型化され、検出効率の向上やアッセイ時間短縮などが具現化されている。その中で、膜タンパク質の簡便かつ効率的なアッセイ手法の開発は急務である。我々が提案する平面脂質二重膜をプラットフォームとするハイスループットスクリーニング法が、ひとつの解法となることを願っている。

5.謝辞

本研究は、筆者が東京大学生産技術研究所竹内研究室に在籍時、竹内昌治博士および B. Le Pioufle 博士との共同研究により行った。また、本プロジェクト立ち上げの段階で、大阪大学の井出徹博士および野地博行博士に脂質二重膜の形成法およびイオンチャネル計測法を教わった。そのほかにも、多くの共同研究者の協力が本プロジェクトの進展を支えた。謹んで感謝いたします。

参考文献

- [1] P. S. Dittrich et al., "Micro Total Analysis Systems. Latest Advancements and Trends," *Anal. Chem.*, 78 (2006) 3887-3908.
- [2] 北森・庄子・馬場・藤田編、「マイクロ化学チップの技術と応用」、丸善、2004.
- [3] J. T. Groves, "Membrane array technology for drug discovery," *Curr. Opin. Drug Discov. De vel.*, 5 (2002), 606-612.
- [4] E. Sackmann and M. Tanaka, "Supported mem branes on soft polymer cushions: fabrication, characterization and applications," *Trends Bio technol.*, 18 (2000), 58-64.
- [5] H. Suzuki and S. Takeuchi, "Microtechnologies for membrane protein studies," *Anal. Bioanal. Chem.*, Online First, 2008.
- [6] 岡田編、「新パッチクランプ実験技術法」、吉 岡書店、2001.
- [7] A. Brueggemann et al., "Ion channel drug dis covery and research: the automated Nano-Patch-Clamp technology, "Curr Drug Discov Technol., 1 (2004), 91-96.
- [8] A. Finkel et al., "Characterization of a MEMS

- BioChip for planar patch-clamp recording, " *J. Biomol. Screening*, 11 (2006), 488-496.
- [9] 澤田光平ら、「電位依存性イオンチャネル探索 研究における蛍光および電気生理学的高速ス クリーニング HTS 法 日薬理誌 126 (2005), 321-327.
- [10] 小林力、「不可能が可能になった自動パッチクランプ装置」、日薬理誌、128 (2006)、374-390.
- [11] H. Suzuki et al., "Planar lipid bilayer reconstitution with a micro-fluidic system," *Lab Chip*, 4 (2004), 502-505.
- [12] H. Suzuki et al., "Highly reproducible method for planar lipid bilayer reconstituted using a mi cro Fluidic Chip," *Langmuir*, 22 (2006), 1937-1942.
- [13] H. Suzuki et al., "Electrophysiological record ings of single ion channels in planar lipid bilay ers using a polymethyl methacrylate microfluid ic chip," *Biosens. Bioelect.*, 22 (2007), 1111-1115.
- [14] B. Le Pioufle et al., "Lipid bilayer microarray for parallel recording of transmembrane ion currents," *Anal. Chem.*, 80 (2008), 328-332.

